

# SDNにおける エンドツーエンドの遅延を 考慮したフロー集約法

小杉山拓弥<sup>+</sup> 田辺 和輝<sup>+</sup> 中山 裕貴<sup>+</sup> 林 経正<sup>+</sup> 山岡 克式<sup>+</sup>

<sup>+</sup>東京工業大学

<sup>+</sup>株式会社 ボスコ・テスクノロジーズ

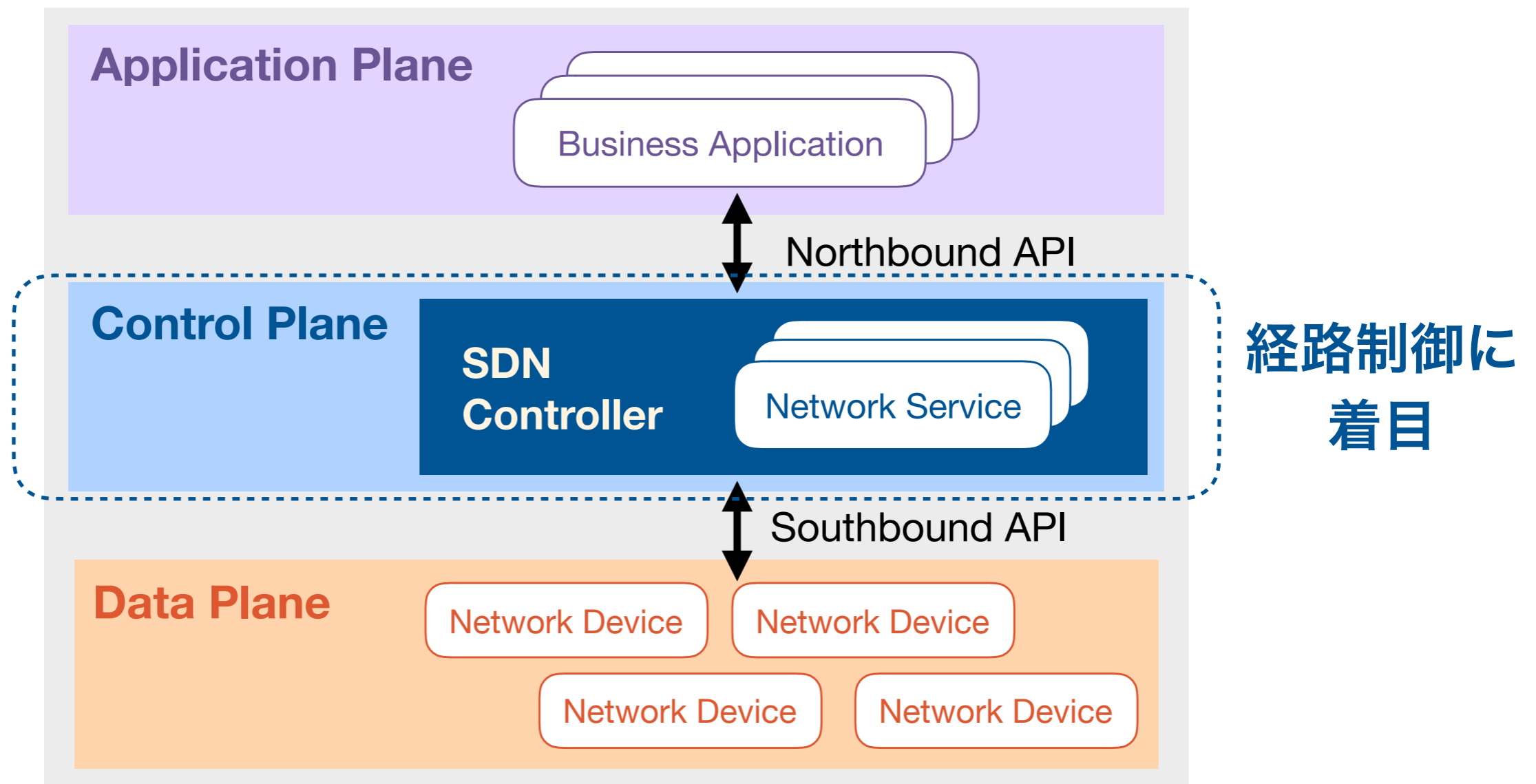
# 研究背景 (1/3)

2016/11/25 ICM研究会

“SDNにおけるエンドツーエンドの許容遅延を考慮したフロー集約法”

## ■ Software-Defined Networking (SDN)

- **Cプレーン** と **Dプレーン** を分離した構造



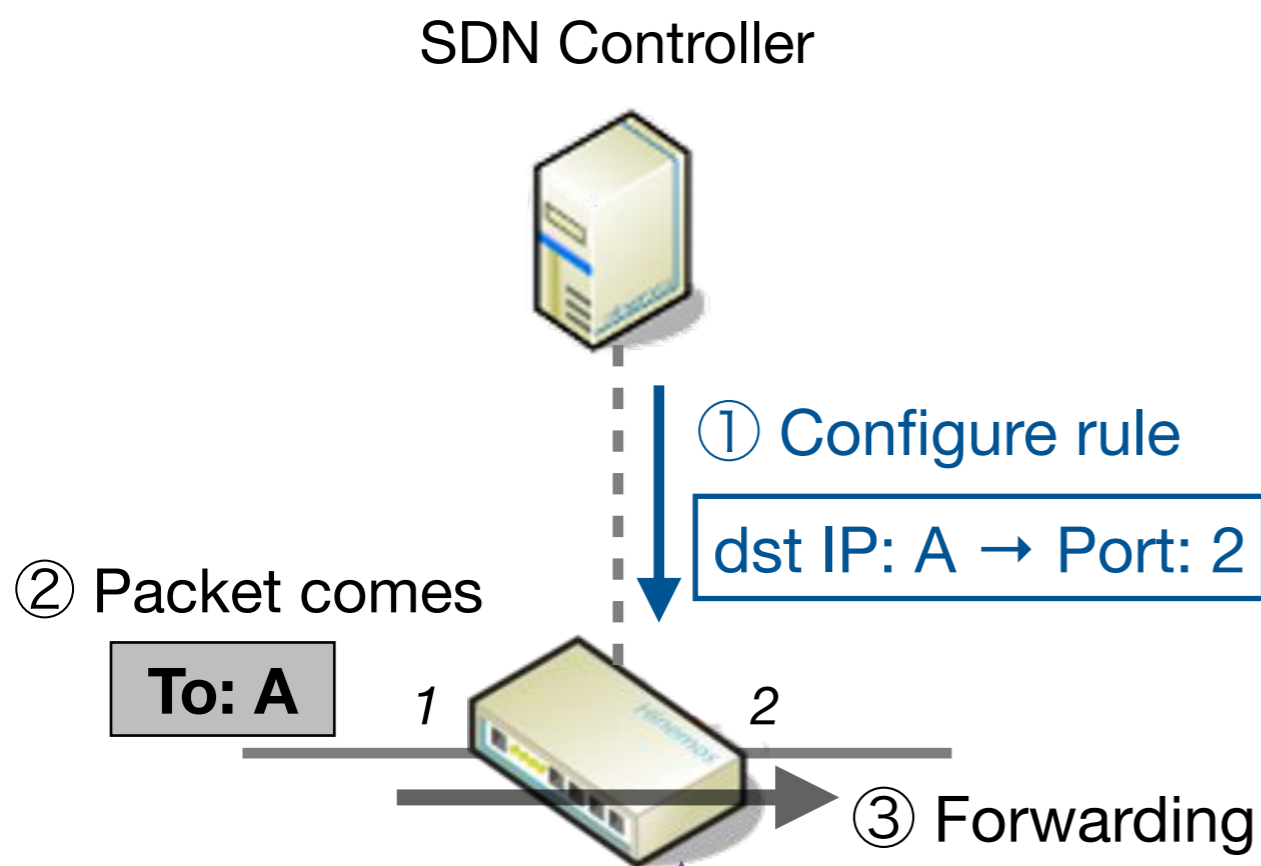
# 研究背景 (2/3)

2016/11/25 ICM研究会

“SDNにおけるエンドツーエンドの許容遅延を考慮したフロー集約法”

## ■ SDNにおける経路制御の機構

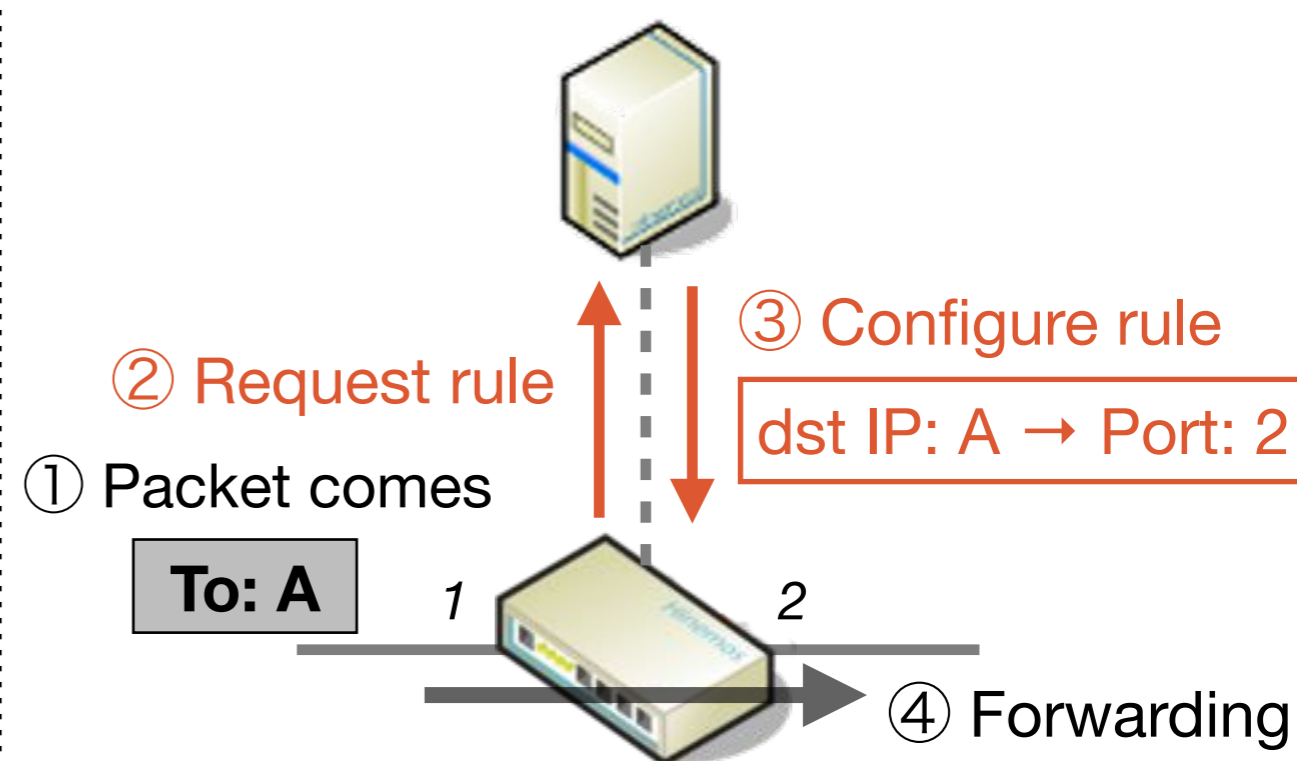
### 1. プロアクティブ型 (計画的)



SDN

- ・ルール更新性能 (1000 rules/s)
- ・ルール容量 (10~50 K)

### 2. リアクティブ型 (動的)



多量のフローの管理が困難

# 研究背景 (3/3)

2016/11/25 ICM研究会

“SDNにおけるエンドツーエンドの許容遅延を考慮したフロー集約法”

## ■ SDNにおけるアプリケーションフロー制御

1. 可能な限りプロアクティブ制御 → **非現実的**
2. フローを集約しフロー数 (ルール数) を削減
  - 帯域制約を満たすルール集約手法 [1][2]
  - ルール容量を満たすルール集約手法 [3][4]

[1] F. Giroire, J. Moulrierac, and T. K. Phan. Optimizing rule placement in software-defined networks for energy-aware routing. In 2014 IEEE Global Communications Conference, pp. 2523–2529, Dec 2014.

[2] Xuan Nam Nguyen, Damien Saucez, Chadi Barakat, and Thierry Turletti. OFFICER: A general optimization framework for OpenFlow rule allocation and endpoint policy enforcement. Proceedings - IEEE INFOCOM, Vol. 26, pp. 478–486, 2015.

[3] Yossi Kanizo, David Hay, and Isaac Keslassy. Palette: Distributing tables in software-defined networks. Proceedings - IEEE INFOCOM, pp. 545–549, 2013.

[4] Nanxi Kang, Zhenming Liu, Jennifer Rexford, and David Walker. Optimizing the “One Big Switch” Abstraction in Software-Defined Networks. Conext’13, p. 17, 2013.

# 研究背景 (3/3)

2016/11/25 ICM研究会

“SDNにおけるエンドツーエンドの許容遅延を考慮したフロー集約法”

## ■ SDNにおけるアプリケーションフロー制御

1. 可能な限りプロアクティブ制御 → **非現実的**

2. フローを集約しフロー数 (ルール数) を削減

- 帯域制約を満たすルール集約手法 [1][2]
- ルール容量を満たすルール集約手法 [3][4]
- 許容遅延を考慮して集約する研究は存在しない
  - IoT / M2M 等の許容遅延が小さいフローの需要増加
  - SDNスイッチの制約からフロー数を最小化するべき



許容遅延を満足しフロー数を最小化する集約法を提案

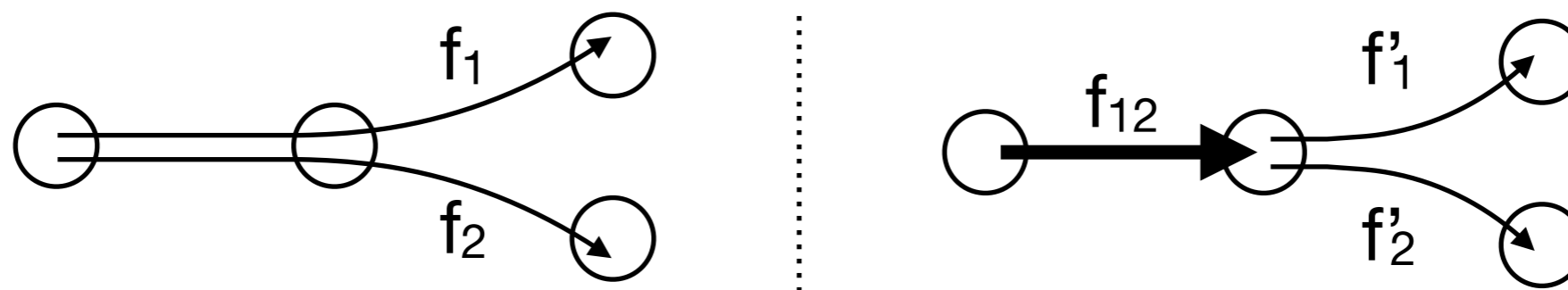
# 提案手法

2016/11/25 ICM研究会

“SDNにおけるエンドツーエンドの許容遅延を考慮したフロー集約法”

## ■ フロー集約の考え方

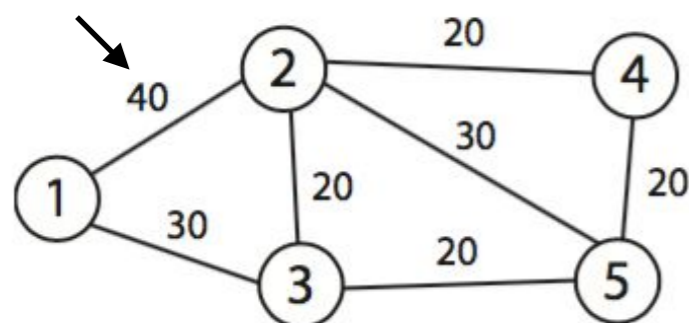
- 同一区間のフローを1つとみなす



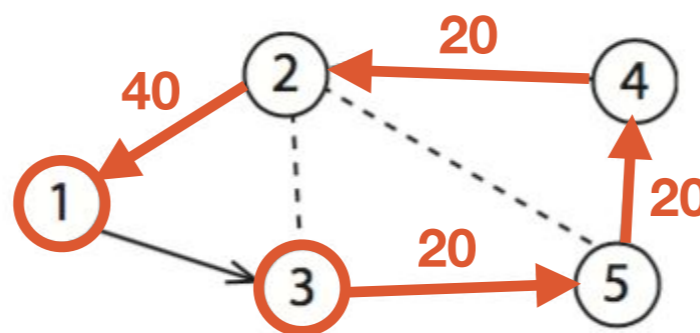
- 集約したフローで経路を構成

遅延を表す  
リンクコスト

- 例：フルメッシュにフローが存在（許容遅延=80）



(a) トポロジ



(b) 許容遅延を満足しない  
最大集約 (集約フロー数: 5)

- 3→1のフロー  
 $20+20+20+40$   
 $= 100 > 80$

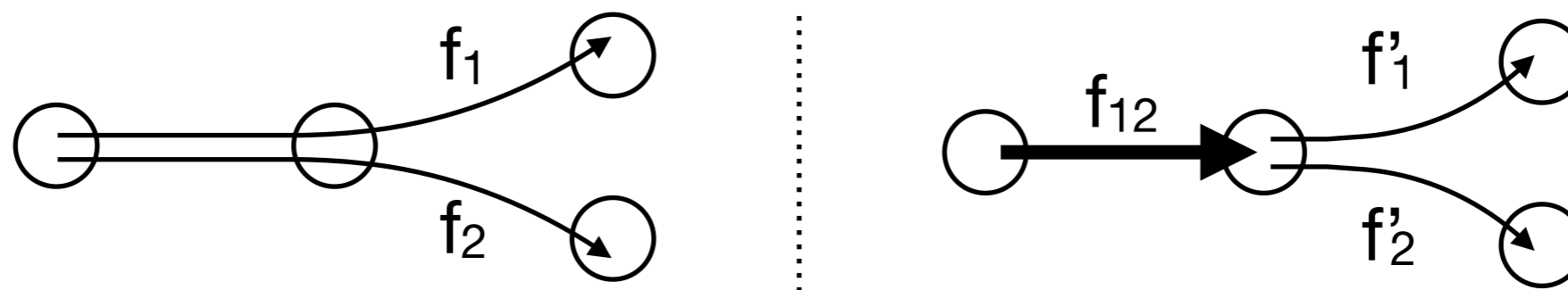
# 提案手法

2016/11/25 ICM研究会

“SDNにおけるエンドツーエンドの許容遅延を考慮したフロー集約法”

## ■ フロー集約の考え方

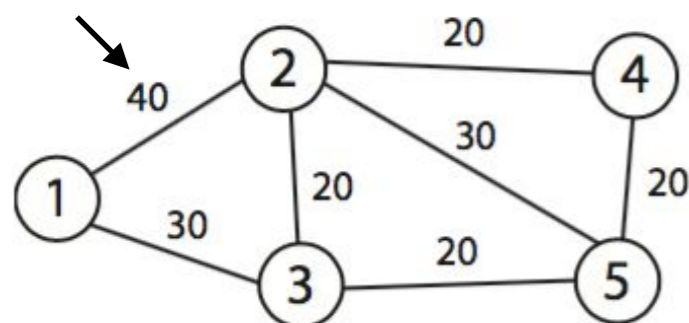
- 同一区間のフローを1つとみなす



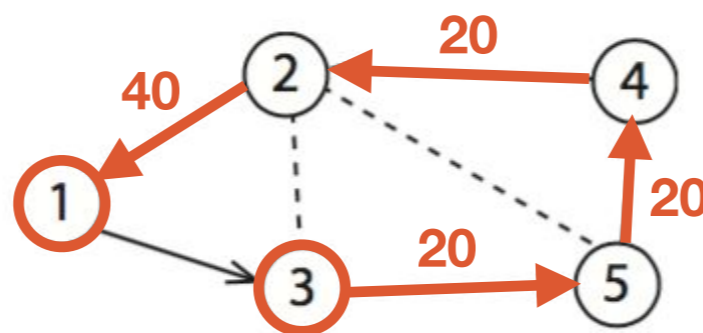
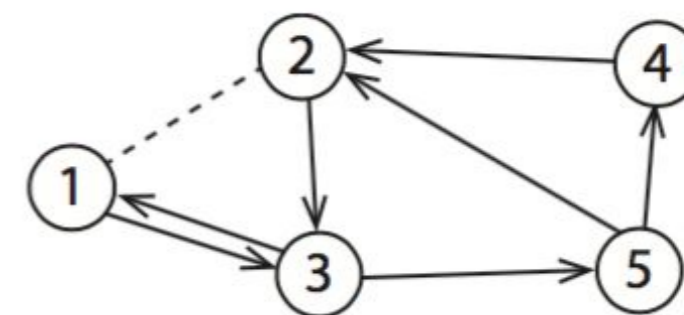
- 集約したフローで経路を構成

遅延を表す  
リンクコスト

- 例：フルメッシュにフローが存在（許容遅延=80）



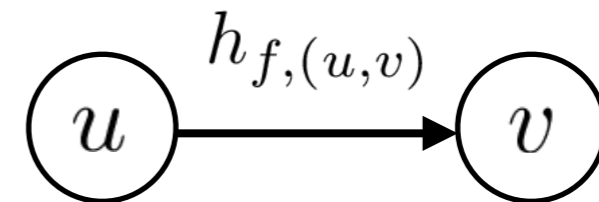
(a) トポロジ

(b) 許容遅延を満足しない  
最大集約 (集約フロー数: 5)(c) 許容遅延を満足する  
最大集約 (集約フロー数: 7)

# 問題設定 (1/4)

## ■ SDNを有向グラフ $G = (V, E)$ でモデル化

- $V$  : SDNスイッチの集合
- $E$  : リンク  $l = (u, v) (u, v \in V, u \neq v)$  の集合
  - リンクコスト  $C_{(u,v)} = C_{(v,u)} \in \mathbb{R}^+$
- $F$  : フロー  $f = (f_s, f_d)$  の集合
  - 許容コスト  $C_f \in \mathbb{R}^+$
- フローとリンクの関係



$$h_{f,(u,v)} = \begin{cases} 1 & ((u, v) \text{ is over } f \in F) \\ 0 & (\text{otherwise}) \end{cases} \quad (1)$$



# 問題設定 (2/4)

2016/11/25 ICM研究会

“SDNにおけるエンドツーエンドの許容遅延を考慮したフロー集約法”

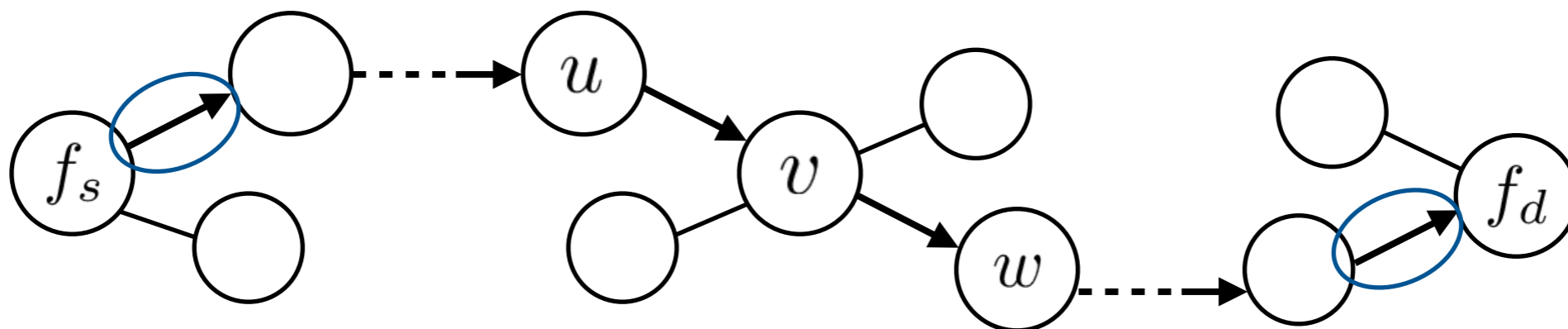
## ■ フロー到達条件

$$\forall f \in F : \sum_{(f_s, v) \in E} h_{f, (f_s, v)} = \sum_{(u, f_d) \in E} h_{f, (u, f_d)} = 1 \quad (2)$$

$$\forall f \in F : \sum_{(v, f_s) \in E} h_{f, (v, f_s)} = \sum_{(f_d, u) \in E} h_{f, (f_d, u)} = 0 \quad (3)$$

$$\forall v \in V \setminus \{f_s, f_d\}, \forall f \in F : \sum_{(u, v) \in E} h_{f, (u, v)} - \sum_{(v, w) \in E} h_{f, (v, w)} = 0 \quad (4)$$

$$\forall f \in F, \forall v \in V : \sum_{(u, v) \in E} h_{f, (u, v)} = 1 \quad (5)$$



始点からのフローと終点へのフローは1つのみ

# 問題設定 (2/4)

2016/11/25 ICM研究会

“SDNにおけるエンドツーエンドの許容遅延を考慮したフロー集約法”

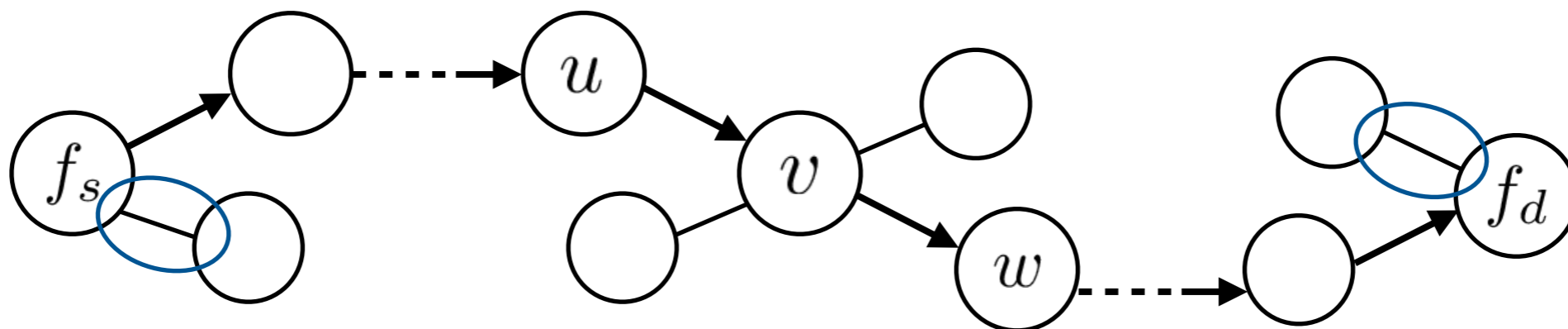
## ■ フロー到達条件

$$\forall f \in F : \sum_{(f_s, v) \in E} h_{f, (f_s, v)} = \sum_{(u, f_d) \in E} h_{f, (u, f_d)} = 1 \quad (2)$$

$$\forall f \in F : \sum_{(v, f_s) \in E} h_{f, (v, f_s)} = \sum_{(f_d, u) \in E} h_{f, (f_d, u)} = 0 \quad (3)$$

$$\forall v \in V \setminus \{f_s, f_d\}, \forall f \in F : \sum_{(u, v) \in E} h_{f, (u, v)} - \sum_{(v, w) \in E} h_{f, (v, w)} = 0 \quad (4)$$

$$\forall f \in F, \forall v \in V : \sum_{(u, v) \in E} h_{f, (u, v)} = 1 \quad (5)$$



始点へのフローと終点からのフローは存在しない

# 問題設定 (2/4)

2016/11/25 ICM研究会

“SDNにおけるエンドツーエンドの許容遅延を考慮したフロー集約法”

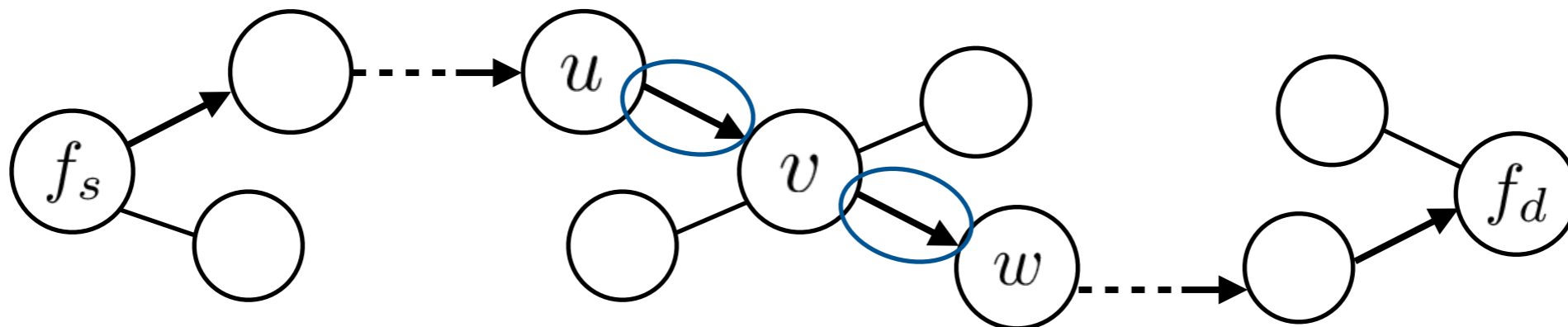
## ■ フロー到達条件

$$\forall f \in F : \sum_{(f_s, v) \in E} h_{f, (f_s, v)} = \sum_{(u, f_d) \in E} h_{f, (u, f_d)} = 1 \quad (2)$$

$$\forall f \in F : \sum_{(v, f_s) \in E} h_{f, (v, f_s)} = \sum_{(f_d, u) \in E} h_{f, (f_d, u)} = 0 \quad (3)$$

$$\forall v \in V \setminus \{f_s, f_d\}, \forall f \in F : \sum_{(u, v) \in E} h_{f, (u, v)} - \sum_{(v, w) \in E} h_{f, (v, w)} = 0 \quad (4)$$

$$\forall f \in F, \forall v \in V : \sum_{(u, v) \in E} h_{f, (u, v)} = 1 \quad (5)$$



ノードへ入るフロー数と出るフロー数は等しい

# 問題設定 (2/4)

2016/11/25 ICM研究会

“SDNにおけるエンドツーエンドの許容遅延を考慮したフロー集約法”

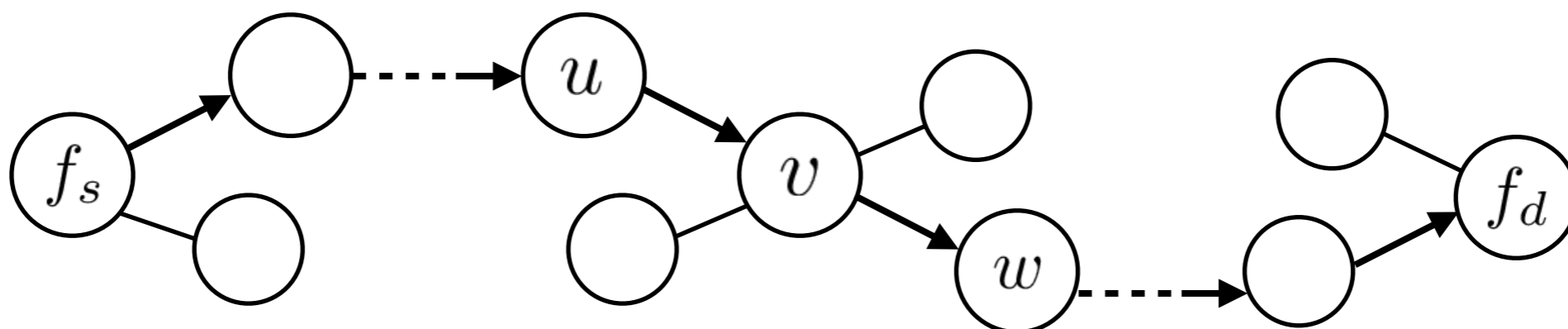
## ■ フロー到達条件

$$\forall f \in F : \sum_{(f_s, v) \in E} h_{f, (f_s, v)} = \sum_{(u, f_d) \in E} h_{f, (u, f_d)} = 1 \quad (2)$$

$$\forall f \in F : \sum_{(v, f_s) \in E} h_{f, (v, f_s)} = \sum_{(f_d, u) \in E} h_{f, (f_d, u)} = 0 \quad (3)$$

$$\forall v \in V \setminus \{f_s, f_d\}, \forall f \in F : \sum_{(u, v) \in E} h_{f, (u, v)} - \sum_{(v, w) \in E} h_{f, (v, w)} = 0 \quad (4)$$

$$\forall f \in F, \forall v \in V : \sum_{(u, v) \in E} h_{f, (u, v)} = 1 \quad (5)$$



ノードは1回だけ経由する

# 問題設定 (3/4)

## ■ 許容コスト制約

$$\forall f \in F : \sum_{(u,v) \in E} h_{f,(u,v)} C_{(u,v)} \leq C_f \quad (6)$$

## ■ フロー集約

- 同じリンクを同方向に通過するフローを1つに集約

$$g_{(u,v)} = \begin{cases} 1 & ((u,v) \text{ is over } \exists f \in F) \\ 0 & (\text{otherwise}) \end{cases} \quad (7)$$

$$\forall f \in F, \forall (u,v) \in E : g_{(u,v)} - h_{f,(u,v)} \geq 0 \quad (8)$$

- 目的：フロー数最小化

$$\text{minimize } \sum_{(u,v) \in E} g_{(u,v)} \quad \text{s.t. (2)-(6)(8)} \quad (9)$$

# 問題設定 (4/4)

2016/11/25 ICM研究会

“SDNにおけるエンドツーエンドの許容遅延を考慮したフロー集約法”

## ■ 式変形

- $\mathbf{G} = (g(u,v), g(v,u), \dots) (\forall (u,v) \in E)$
- $\mathbf{H} = (H_{f_1}, H_{f_2}, \dots, H_{f_m}) (f_1, f_2, \dots, f_m \in F)$ 
  - $H_f = (h_{f,(u,v)}, h_{f,(v,u)}, \dots)$
- $\mathbf{x} = (\mathbf{G}, \mathbf{H})$



式(6)(9)に適用

$$\begin{aligned} & \text{minimize} \sum_{(u,v) \in E} \mathbf{x} \mathbf{z}_{(u,v)}^T \\ & \text{s.t. } \forall f \in F : \mathbf{x} \mathbf{y}_{f,(u,v)}^T C_{(u,v)} \leq C_f \end{aligned}$$

ナップサック問題に帰着  $\Rightarrow$  **NP困難**

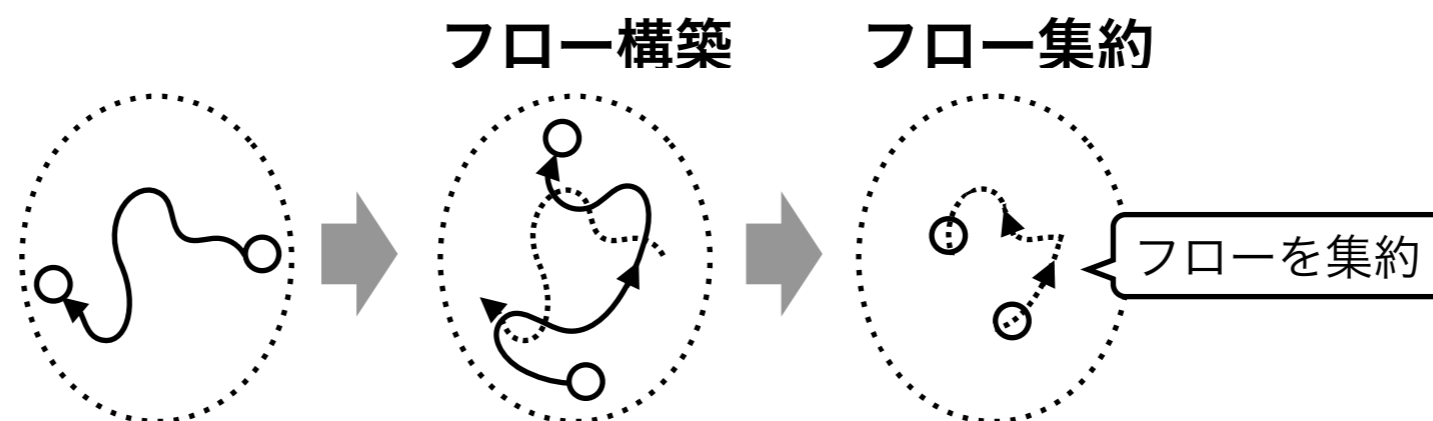
# アルゴリズム

2016/11/25 ICM研究会

“SDNにおけるエンドツーエンドの許容遅延を考慮したフロー集約法”

## ■ 全体の流れ **経路変更の自由度**

1. フローを(許容コスト - 最小コスト)で昇順ソート  $\Rightarrow F_s$
  2.  $F_s$  から1つフローを取り出す  $\Rightarrow f$
  3. **[(1)フロー構築]** 既存ルールを利用して  $f$  を構築
  4. **[(2)フロー集約]**  $F_s$  中のフローを既存フローに集約
  5.  $F_s$  が空になるまで 2. に戻る
- 時間計算量  $O\{|F|((|V|(|E| + |V|)) + (|F|(|E| \log |V|)))\}$



# (1) フロー構築

## ■ 最良優先探索で経路構築

- $y$  の評価値  $b_y = \{t_y, c_y\}$ 
  - $t_y$  :  $f_s$  から  $y$  に到達したときの既存ルール利用回数
  - $c_y$  :  $f_s$  から  $y$  に到達したときの合計コスト
- 2ノード間の優先順位付け
  - $comp(u, v) = 1$  ならば  $v$  を優先
$$comp(u, v) = \begin{cases} 1 & (t_u < t_v \vee (t_u = t_v \wedge c_u > c_v)) \\ 0 & (\text{otherwise}) \end{cases}$$
- 最悪の時間計算量
  - $\mathcal{O}(|V|(|E| + |V|))$



# (1) フロー構築

## ■ 最良優先探索で経路構築

- $u$  から  $v$  への評価値を求める関数

$$b(u, v, t_{max}) = \begin{cases} \{t_{u+v}, c_{u+v}\} & (t_{u+v} < t_{max} \wedge c_{u+v} \leq C_f \wedge \\ & (t_{u+v} > t_v \vee \\ & t_{u+v} = t_v \wedge c_{u+v} < c_v)) \\ b_v & (\text{otherwise}) \end{cases}$$

- $t_{max}$  : ルール使用回数制限値
- $t_{u+v}$  :  $t_u + g(u, v)$
- $c_{u+v}$  :  $c_u + C_{(u, v)}$

# フロー構築：例1

2016/11/25 ICM研究会

“SDNにおけるエンドツーエンドの許容遅延を考慮したフロー集約法”

- (初期条件) 初期ノードをPQにエンキュー

Step: PQが空になるまで繰り返す

- (1) PQからデキュー  $\Rightarrow b_y$
- (2) 隣接ノード  $z$  の評価値を計算
  - (a)  $c_z \leq C_f$  かつ  $z$  を経由して  
いなければ評価値を更新して  $b_z$  を  
エンキュー
  - (b)  $z = f_d$  ならば終了
- (3) 経路ノードと追加ルールを更新

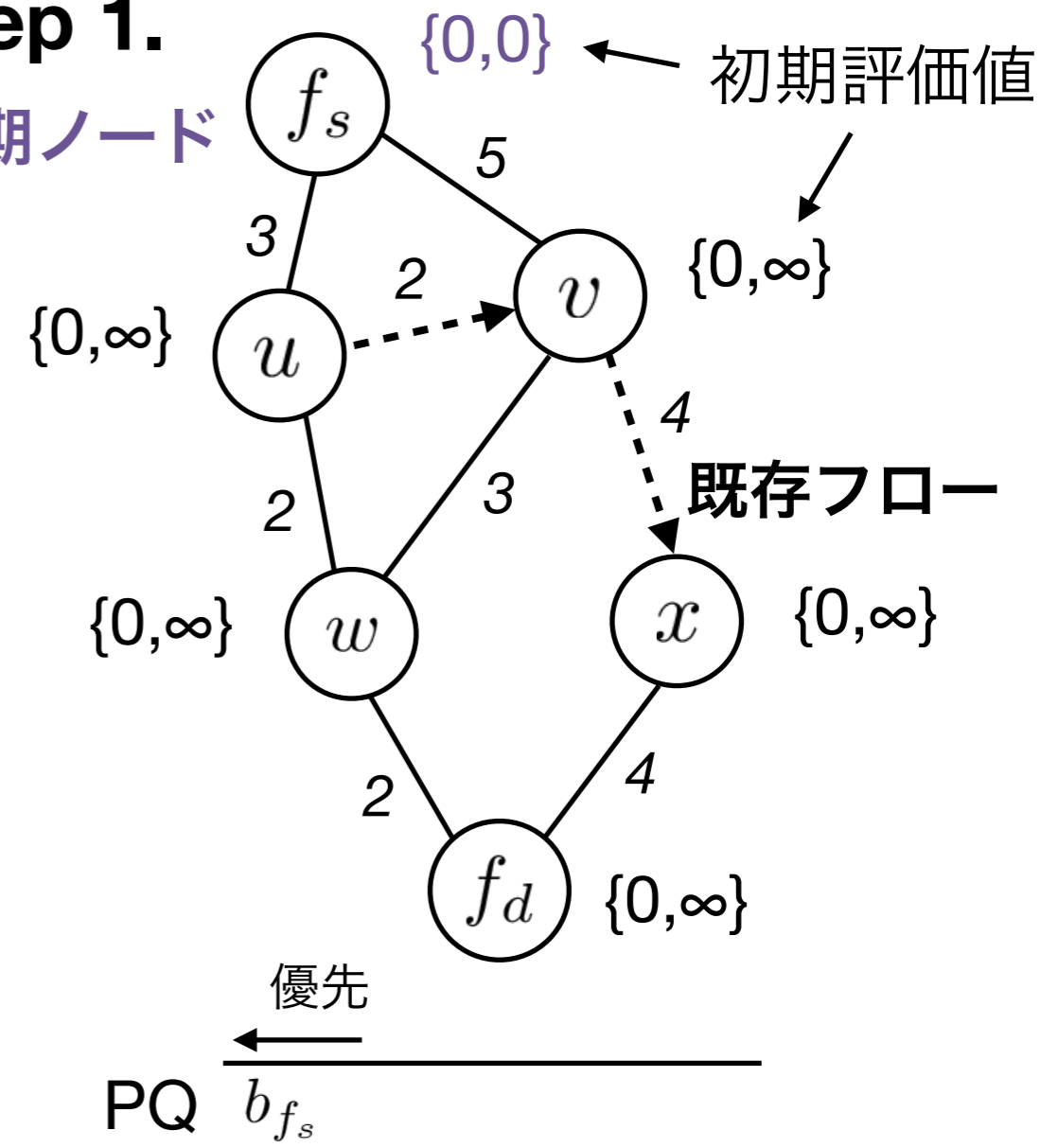
- $y$  の評価値 :  $b_y = \{t_y, c_y\}$ 
  - $t_y$  : 既存ルール利用回数
  - $c_y$  :  $f_s$  から  $y$  までの合計コスト

- 評価値更新
  - 優先度が高ければ更新する

(1)  $C_f = 13$

Step 1.

初期ノード



- 優先度 : (1)  $t$  が大きいもの  
(2)  $t$  が等しければ  $c$  が小さいもの

# フロー構築：例1

2016/11/25 ICM研究会

“SDNにおけるエンドツーエンドの許容遅延を考慮したフロー集約法”

- (初期条件) 初期ノードをPQにエンキュー
- Step: PQが空になるまで繰り返す

- (1) PQからデキュー  $\Rightarrow b_y$
- (2) 隣接ノード  $z$  の評価値を計算
  - (a)  $c_z \leq C_f$  かつ  $z$  を経由していなければ評価値を更新して  $b_z$  をエンキュー
  - (b)  $z = f_d$  ならば終了
- (3) 経路ノードと追加ルールを更新

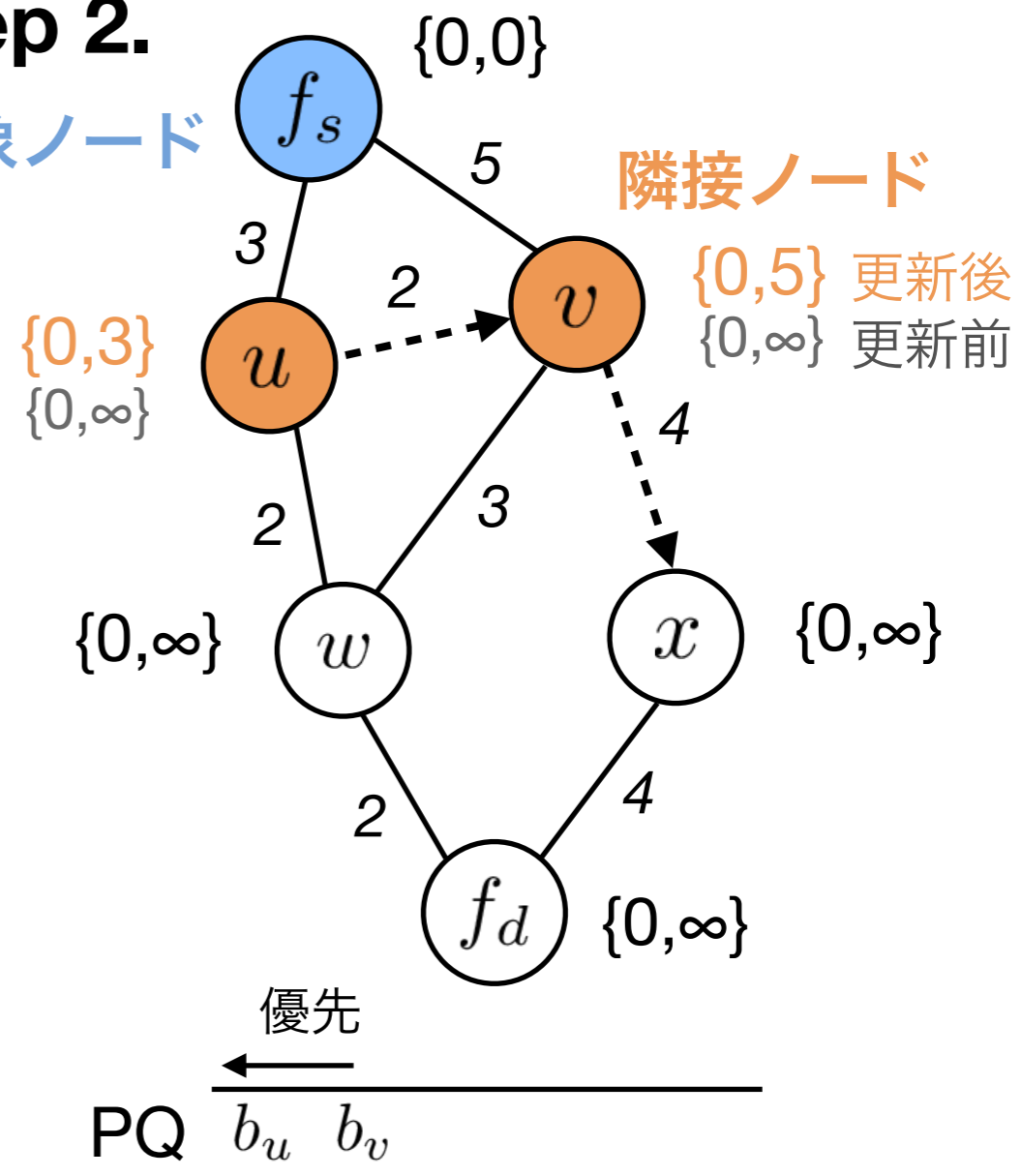
- $y$  の評価値 :  $b_y = \{t_y, c_y\}$ 
  - $t_y$  : 既存ルール利用回数
  - $c_y$  :  $f_s$  から  $y$  までの合計コスト

- 評価値更新
  - 優先度が高ければ更新する

$$(1) C_f = 13$$

Step 2.

対象ノード



- 優先度 : (1)  $t$  が大きいもの  
(2)  $t$  が等しければ  $c$  が小さいもの

# フロー構築：例1

2016/11/25 ICM研究会

“SDNにおけるエンドツーエンドの許容遅延を考慮したフロー集約法”

- (初期条件) 初期ノードをPQにエンキュー
- Step: PQが空になるまで繰り返す

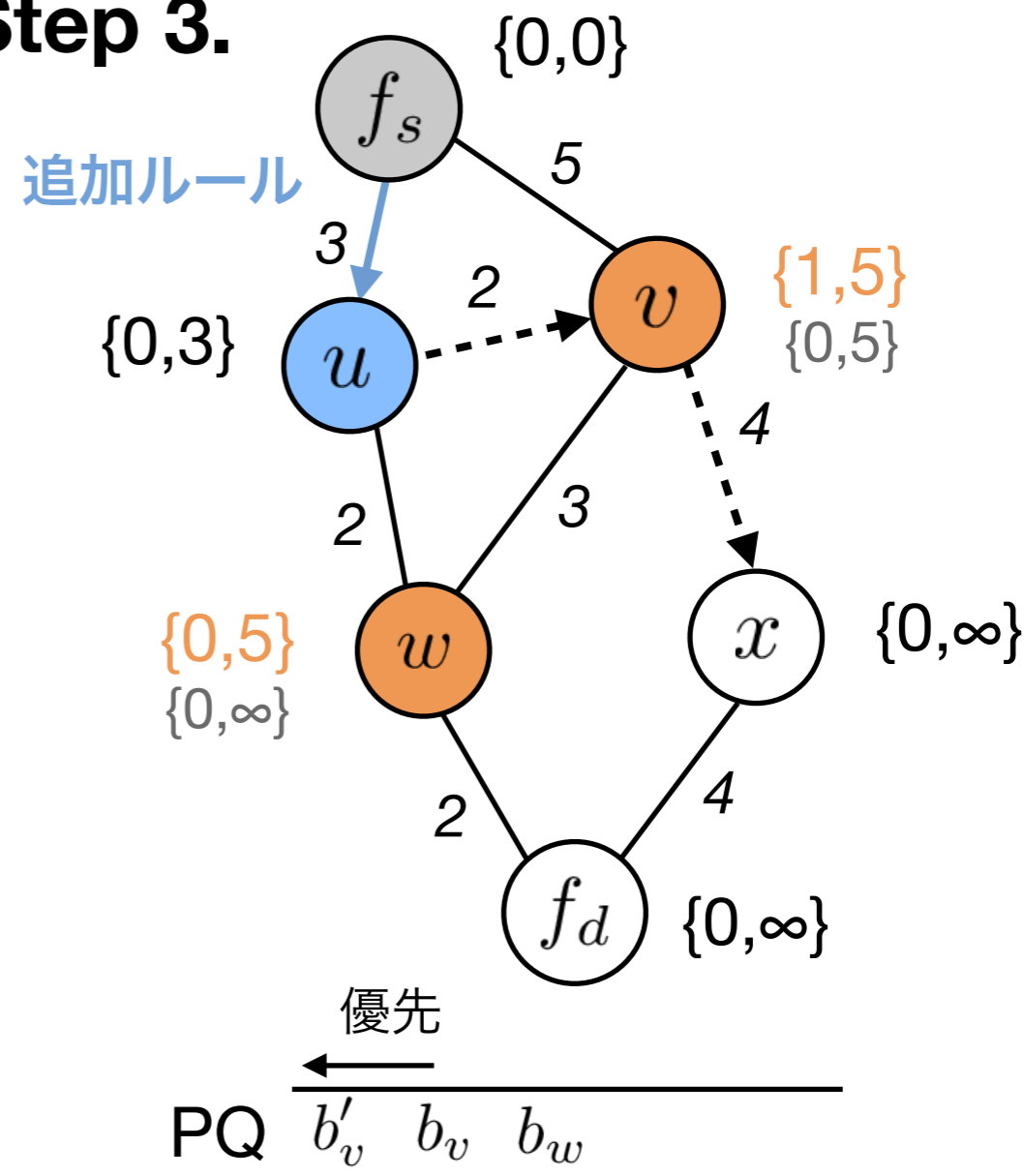
- (1) PQからデキュー  $\Rightarrow b_y$
- (2) **隣接ノード**  $z$  の評価値を計算
  - (a)  $c_z \leq C_f$  かつ  $z$  を経由していなければ評価値を更新して  $b_z$  をエンキュー
  - (b)  $z = f_d$  ならば終了
- (3) 経路ノードと**追加ルール**を更新

- $y$  の評価値 :  $b_y = \{t_y, c_y\}$ 
  - $t_y$  : 既存ルール利用回数
  - $c_y$  :  $f_s$  から  $y$  までの合計コスト

- 評価値更新
  - 優先度が高ければ更新する

$$(1) C_f = 13$$

Step 3.



- 優先度 : (1)  $t$  が大きいもの
- (2)  $t$  が等しければ  $c$  が小さいもの

# フロー構築：例1

2016/11/25 ICM研究会

“SDNにおけるエンドツーエンドの許容遅延を考慮したフロー集約法”

- (初期条件) 初期ノードをPQにエンキュー

Step: PQが空になるまで繰り返す

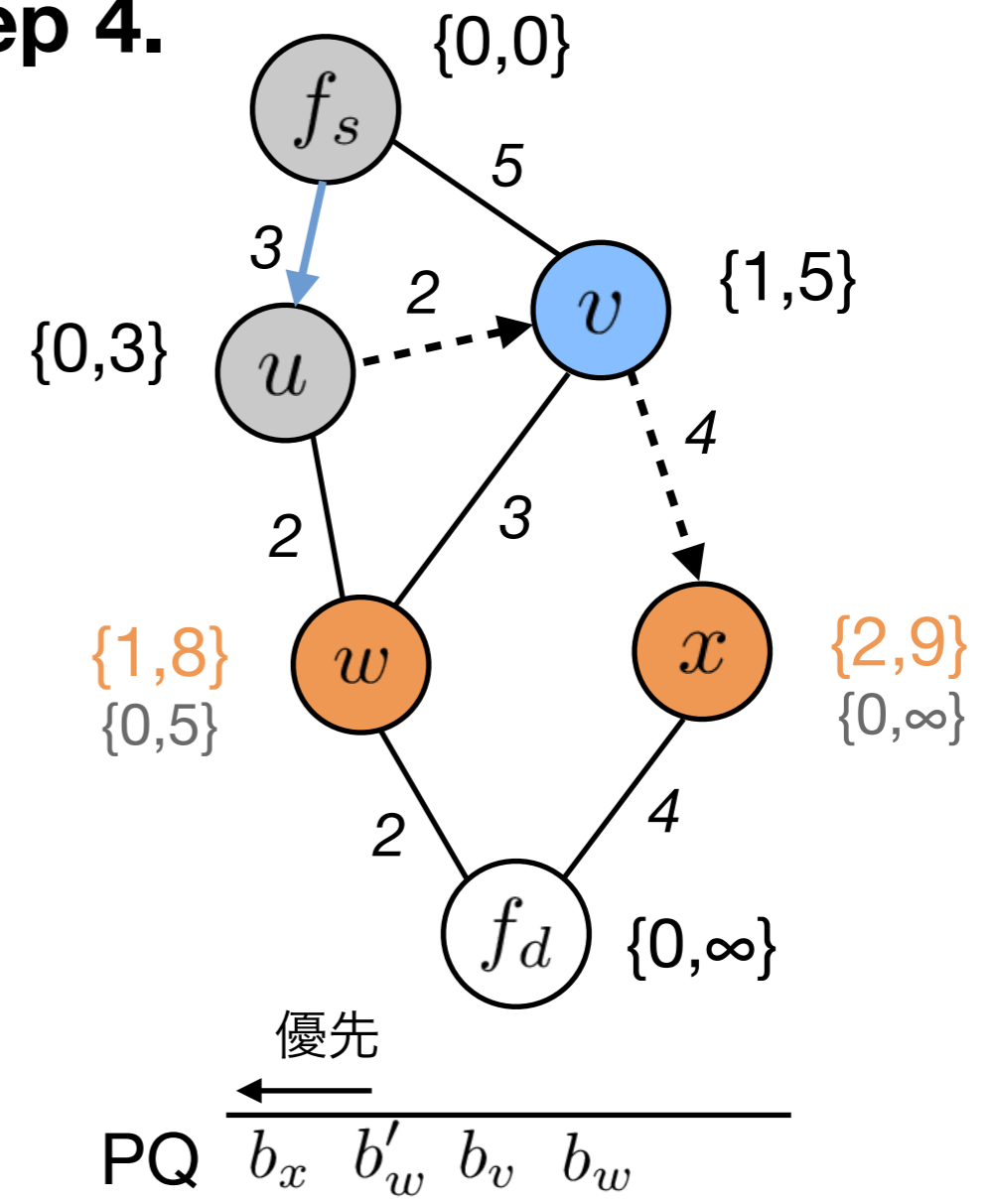
- (1) PQからデキュー  $\Rightarrow b_y$
- (2) **隣接ノード**  $z$  の評価値を計算
  - (a)  $c_z \leq C_f$  かつ  $z$  を経由していなければ評価値を更新して  $b_z$  をエンキュー
  - (b)  $z = f_d$  ならば終了
- (3) 経路ノードと**追加ルール**を更新

- $y$  の評価値 :  $b_y = \{t_y, c_y\}$ 
  - $t_y$  : 既存ルール利用回数
  - $c_y$  :  $f_s$  から  $y$  までの合計コスト

- 評価値更新
  - 優先度が高ければ更新する

$$(1) C_f = 13$$

Step 4.



- 優先度 : (1)  $t$  が大きいもの  
(2)  $t$  が等しければ  $c$  が小さいもの

# フロー構築：例1

2016/11/25 ICM研究会

“SDNにおけるエンドツーエンドの許容遅延を考慮したフロー集約法”

- (初期条件) 初期ノードをPQにエンキュー
- Step: PQが空になるまで繰り返す

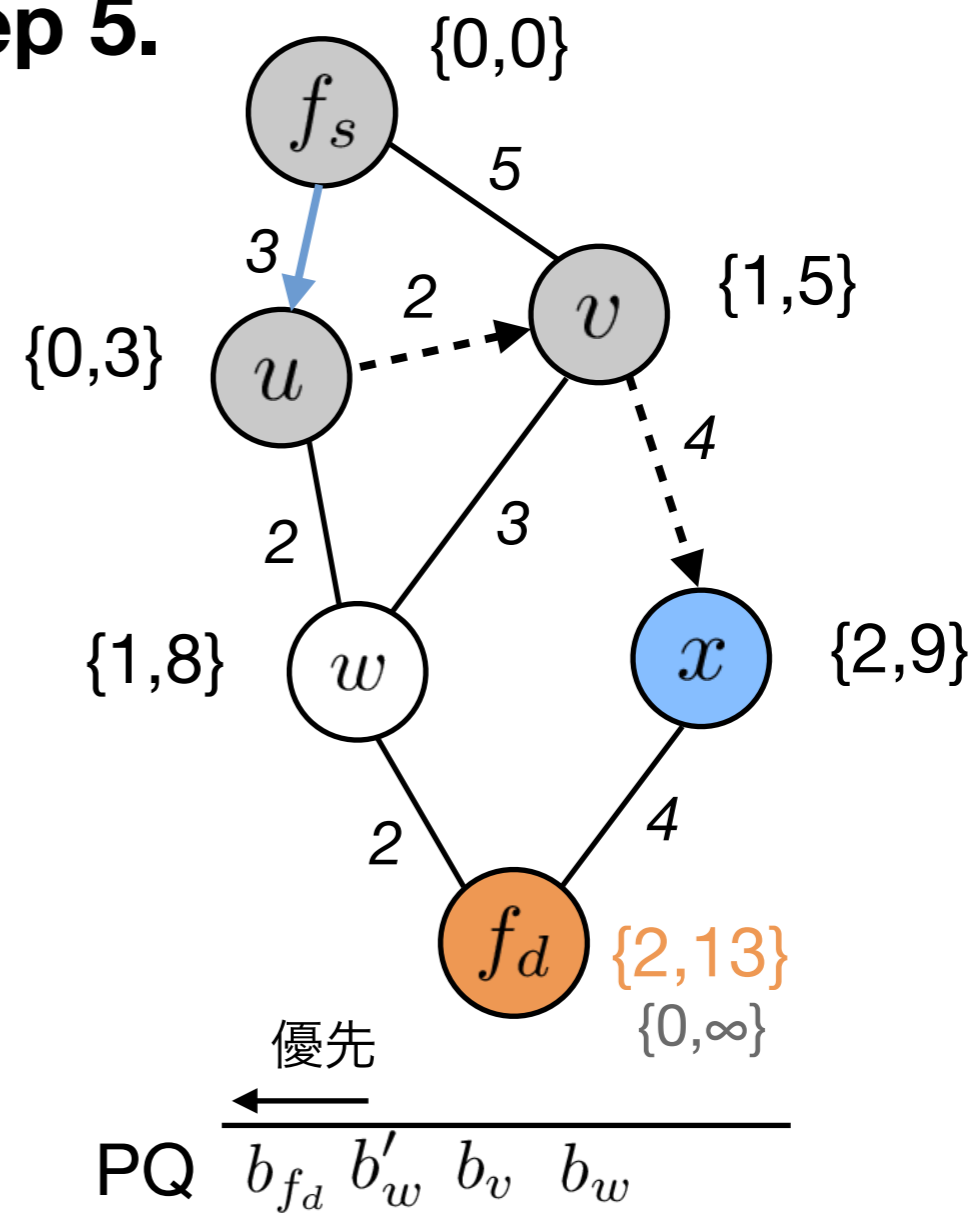
- (1) PQからデキュー  $\Rightarrow b_y$
- (2) **隣接ノード**  $z$  の評価値を計算
  - (a)  $c_z \leq C_f$  かつ  $z$  を経由していなければ評価値を更新して  $b_z$  をエンキュー
  - (b)  $z = f_d$  ならば終了
- (3) **経路ノード** と **追加ルール** を更新

- $y$  の評価値:  $b_y = \{t_y, c_y\}$ 
  - $t_y$ : 既存ルール利用回数
  - $c_y$ :  $f_s$  から  $y$  までの合計コスト

- 評価値更新
  - 優先度が高ければ更新する

$$(1) C_f = 13$$

Step 5.



- 優先度: (1)  $t$  が大きいもの
- (2)  $t$  が等しければ  $c$  が小さいもの

# フロー構築：例1

2016/11/25 ICM研究会

“SDNにおけるエンドツーエンドの許容遅延を考慮したフロー集約法”

- (初期条件) 初期ノードをPQにエンキュー

Step: PQが空になるまで繰り返す

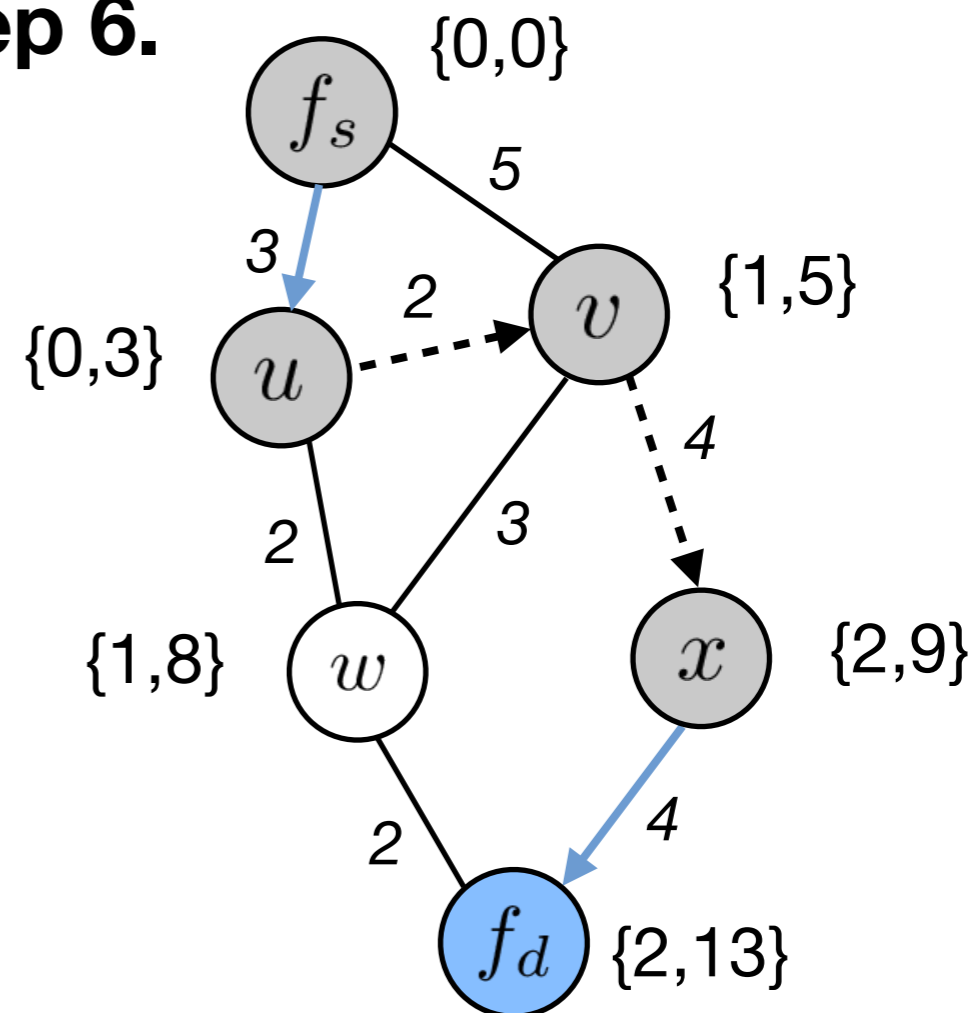
- (1) PQからデキュー  $\Rightarrow b_y$
- (2) 隣接ノード  $z$  の評価値を計算
  - (a)  $c_z \leq C_f$  かつ  $z$  を経由していなければ評価値を更新して  $b_z$  をエンキュー
  - (b)  $z = f_d$  ならば**終了**
- (3) 経路ノードと追加ルールを更新

- $y$  の評価値 :  $b_y = \{t_y, c_y\}$ 
  - $t_y$  : 既存ルール利用回数
  - $c_y$  :  $f_s$  から  $y$  までの合計コスト

- 評価値更新
  - 優先度が高ければ更新する

$$(1) C_f = 13$$

Step 6.



$f_d$  に到達し  $C_f$  を満たしたので終了  
追加ルール :  $\{\{f_s, u\}, \{x, f_d\}\}$



# フロー構築：例2

2016/11/25 ICM研究会

“SDNにおけるエンドツーエンドの許容遅延を考慮したフロー集約法”

- (初期条件) 初期ノードをPQにエンキュー
- Step: PQが空になるまで繰り返す

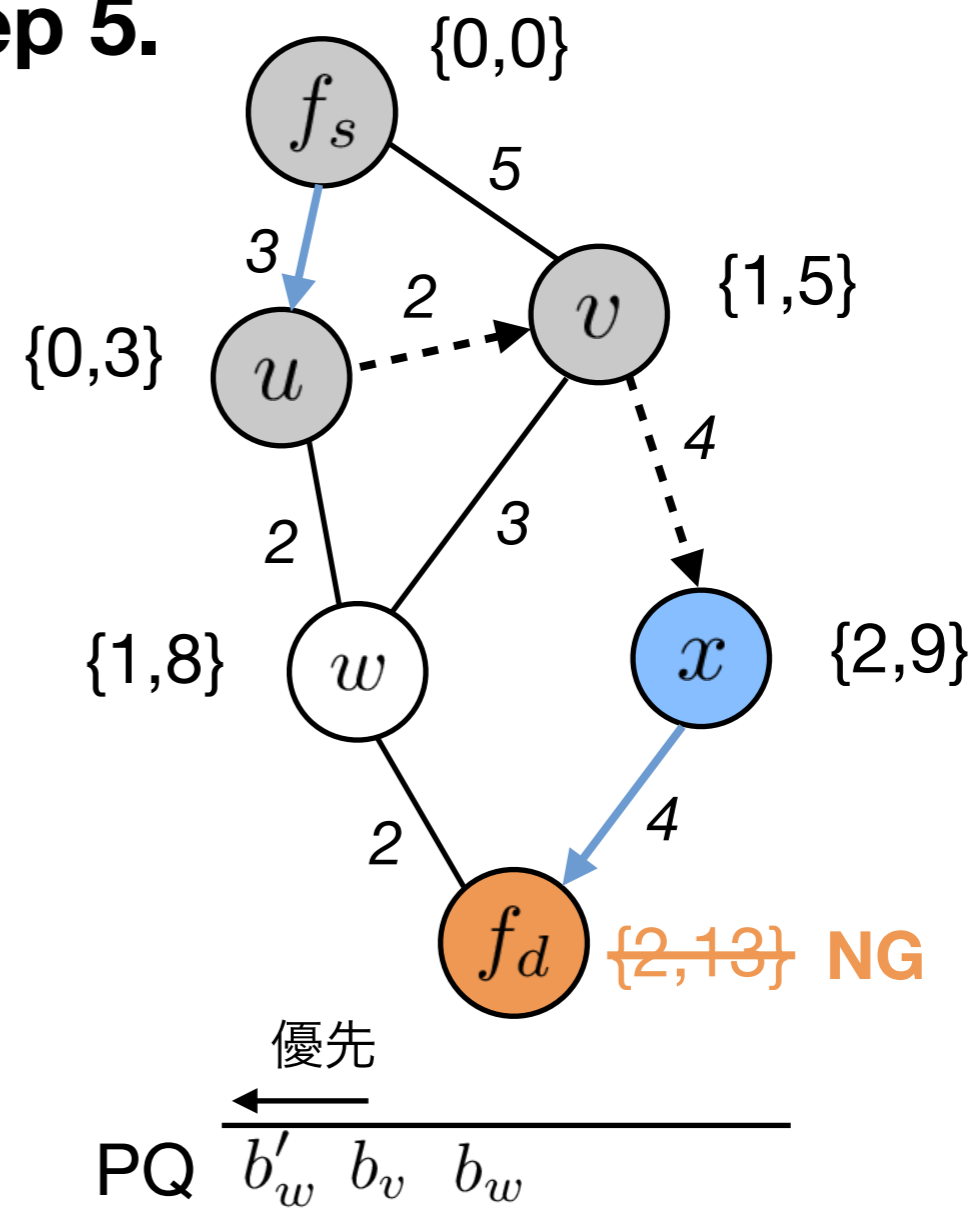
- (1) PQからデキュー  $\Rightarrow b_y$
- (2) 隣接ノード  $z$  の評価値を計算
  - (a)  $c_z \leq C_f$  かつ  $z$  を経由して  
いなければ評価値を更新して  $b_z$  を  
エンキュー
  - (b)  $z = f_d$  ならば終了
- (3) 経路ノードと追加ルールを更新

- $y$  の評価値:  $b_y = \{t_y, c_y\}$ 
  - $t_y$ : 既存ルール利用回数
  - $c_y$ :  $f_s$  から  $y$  までの合計コスト

- 評価値更新
  - 優先度が高ければ更新する

$$(2) \underline{C_f = 12}$$

Step 5.



$f_d$  に到達したが  $C_f$  を超過



# フロー構築：例2

2016/11/25 ICM研究会

“SDNにおけるエンドツーエンドの許容遅延を考慮したフロー集約法”

- (初期条件) 初期ノードをPQにエンキュー
- Step: PQが空になるまで繰り返す

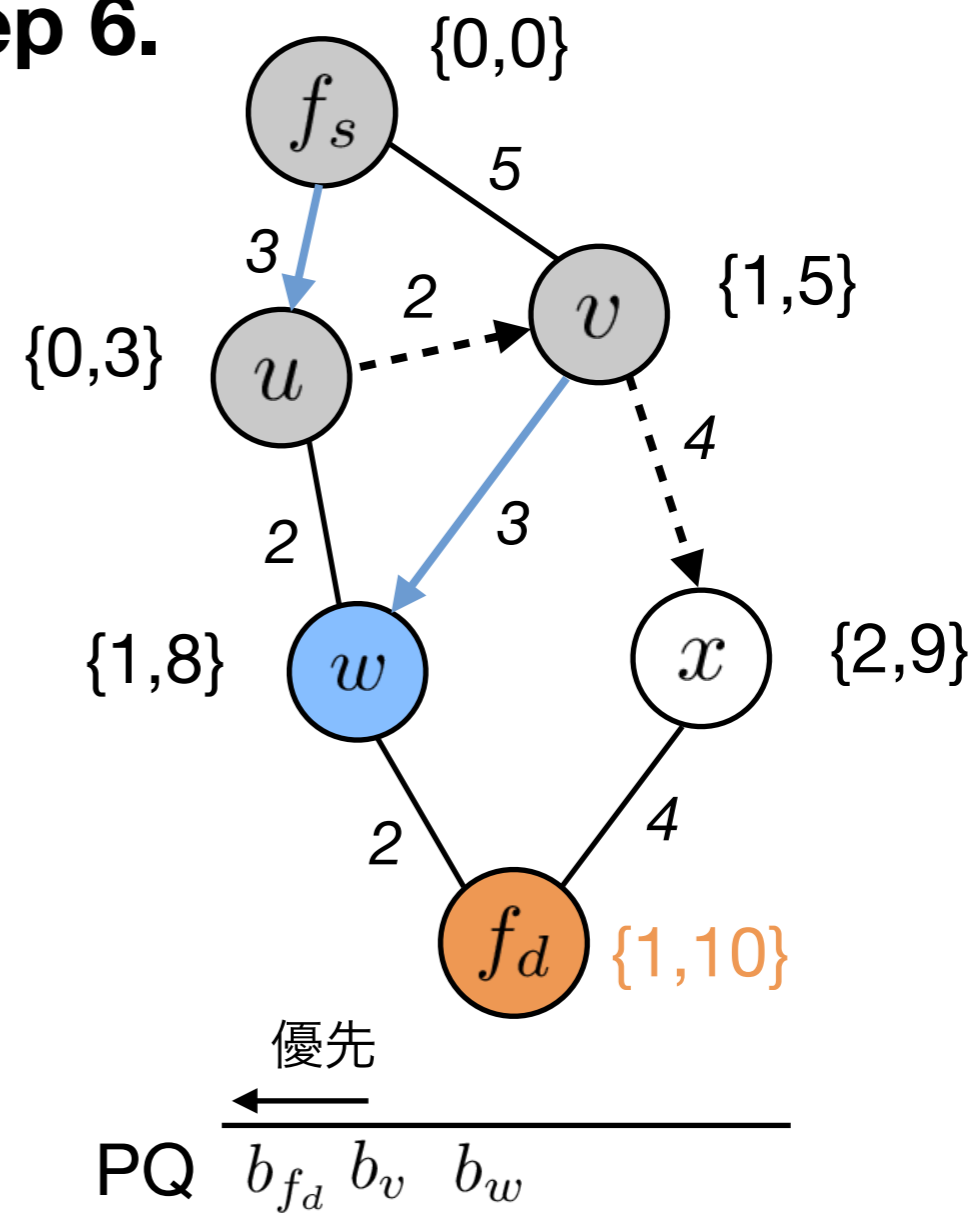
- (1) PQからデキュー  $\Rightarrow b_y$
- (2) **隣接ノード**  $z$  の評価値を計算
  - (a)  $c_z \leq C_f$  かつ  $z$  を経由していなければ評価値を更新して  $b_z$  をエンキュー
  - (b)  $z = f_d$  ならば終了
- (3) **経路ノード** と **追加ルール** を更新

- $y$  の評価値 :  $b_y = \{t_y, c_y\}$ 
  - $t_y$  : 既存ルール利用回数
  - $c_y$  :  $f_s$  から  $y$  までの合計コスト

- 評価値更新
  - 優先度が高ければ更新する

$$(2) C_f = 12$$

Step 6.



- 優先度 : (1)  $t$  が大きいもの
- (2)  $t$  が等しければ  $c$  が小さいもの

# フロー構築：例2

2016/11/25 ICM研究会

“SDNにおけるエンドツーエンドの許容遅延を考慮したフロー集約法”

- (初期条件) 初期ノードをPQにエンキュー

Step: PQが空になるまで繰り返す

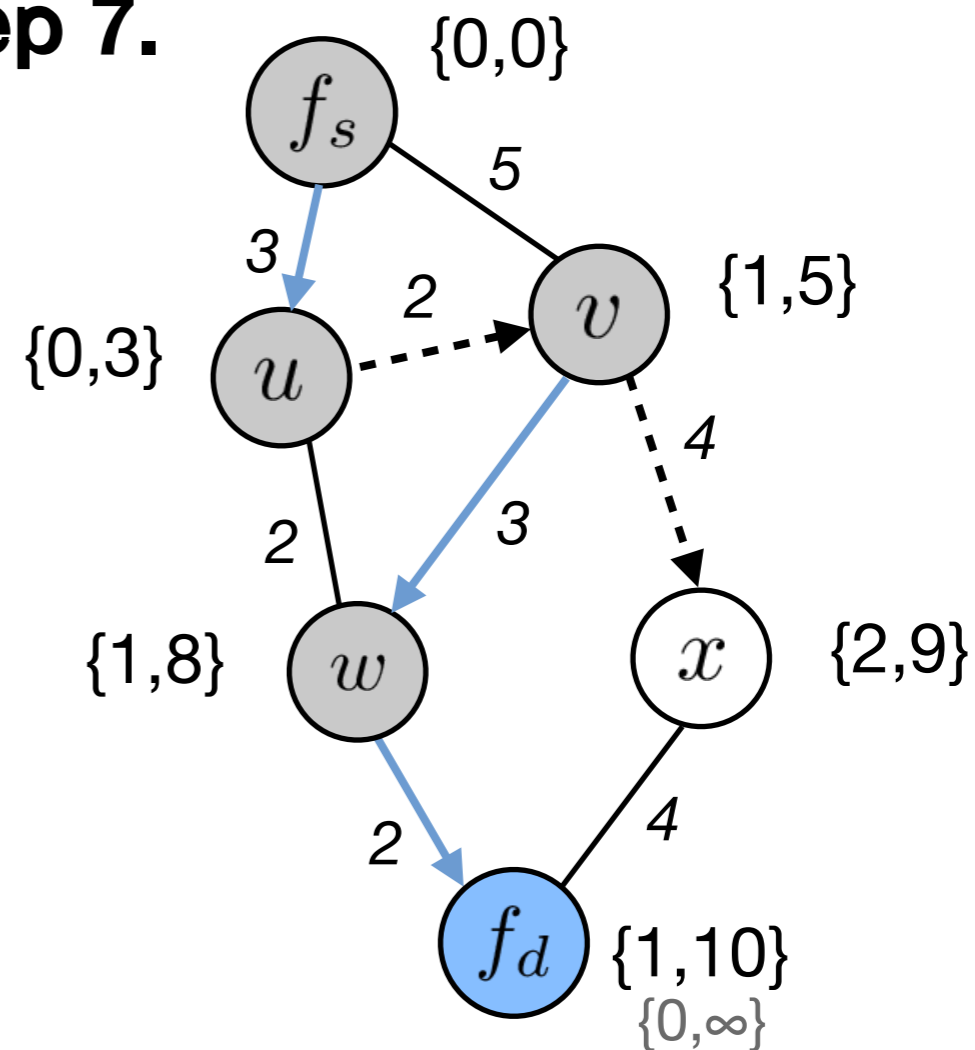
- (1) PQからデキュー  $\Rightarrow b_y$
- (2) 隣接ノード  $z$  の評価値を計算
  - (a)  $c_z \leq C_f$  かつ  $z$  を経由して  
いなければ評価値を更新して  $b_z$  を  
エンキュー
  - (b)  $z = f_d$  ならば**終了**
- (3) 経路ノードと追加ルールを更新

- $y$  の評価値:  $b_y = \{t_y, c_y\}$ 
  - $t_y$ : 既存ルール利用回数
  - $c_y$ :  $f_s$  から  $y$  までの合計コスト

- 評価値更新
  - 優先度が高ければ更新する

$$(2) C_f = 12$$

Step 7.



$f_d$  に到達し  $C_f$  を満たしたので終了  
追加ルール:

$$\{\{f_s, u\}, \{v, w\}, \{w, f_d\}\}$$

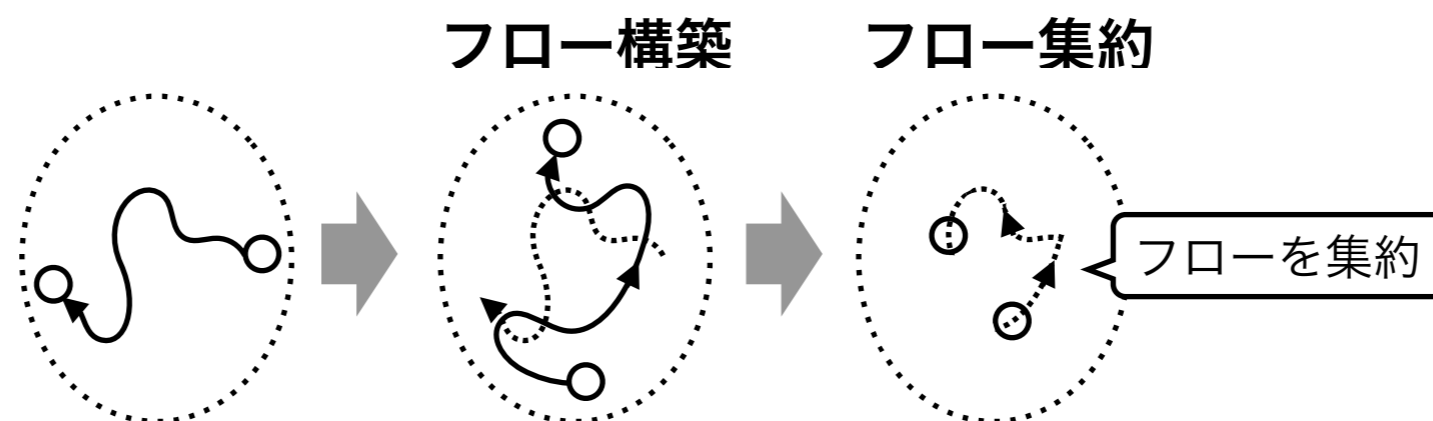
# アルゴリズム

2016/11/25 ICM研究会

“SDNにおけるエンドツーエンドの許容遅延を考慮したフロー集約法”

## ■ 全体の流れ

1. フローを (許容コスト - 最小コスト) で昇順ソート  $\Rightarrow F_s$
  2.  $F_s$  から1つフローを取り出す  $\Rightarrow f$
  3. [(1)フロー構築] 既存ルールを利用して  $f$  を構築
  4. [(2)フロー集約]  $F_s$  中のフローを既存フローに集約
  5.  $F_s$  が空になるまで 2. に戻る
- 時間計算量  $O\{|F|((|V|(|E| + |V|)) + (|F|(|E| \log |V|)))\}$



## (2) フロー集約

2016/11/25 ICM研究会

“SDNにおけるエンドツーエンドの許容遅延を考慮したフロー集約法”

- 既存フローと重なっているフローを削除
  - $F_s$  のうち, 許容コスト以内で到達できるフローを  $F_s$  から削除 (ダイクストラ法)
  - 時間計算量
    - $\mathcal{O}(|F|(|E| \log |V|))$

# 評価 (1)

## ■ シミュレーションによる評価

表：対象トポロジ

Topology name	$ V $	$ E $	$\max( F )$
Random-small	50	101	$\mathcal{O}(10^3)$
Random-large	500	7472	$\mathcal{O}(10^5)$
Scalefree-small	50	96	$\mathcal{O}(10^3)$
Scalefree-large	500	995	$\mathcal{O}(10^5)$

- トポロジ

- モデル：ERモデル / BAモデル
- 大きさ： $|V| = 50, 500$

- パラメータ

- リンク遅延：5～15のランダム値
- $\alpha$ ：最大の最短遅延に対する許容遅延の設定値の比

- 比較対象

- 最小コスト / 最小ホップ経路で集約

# 評価 (2)

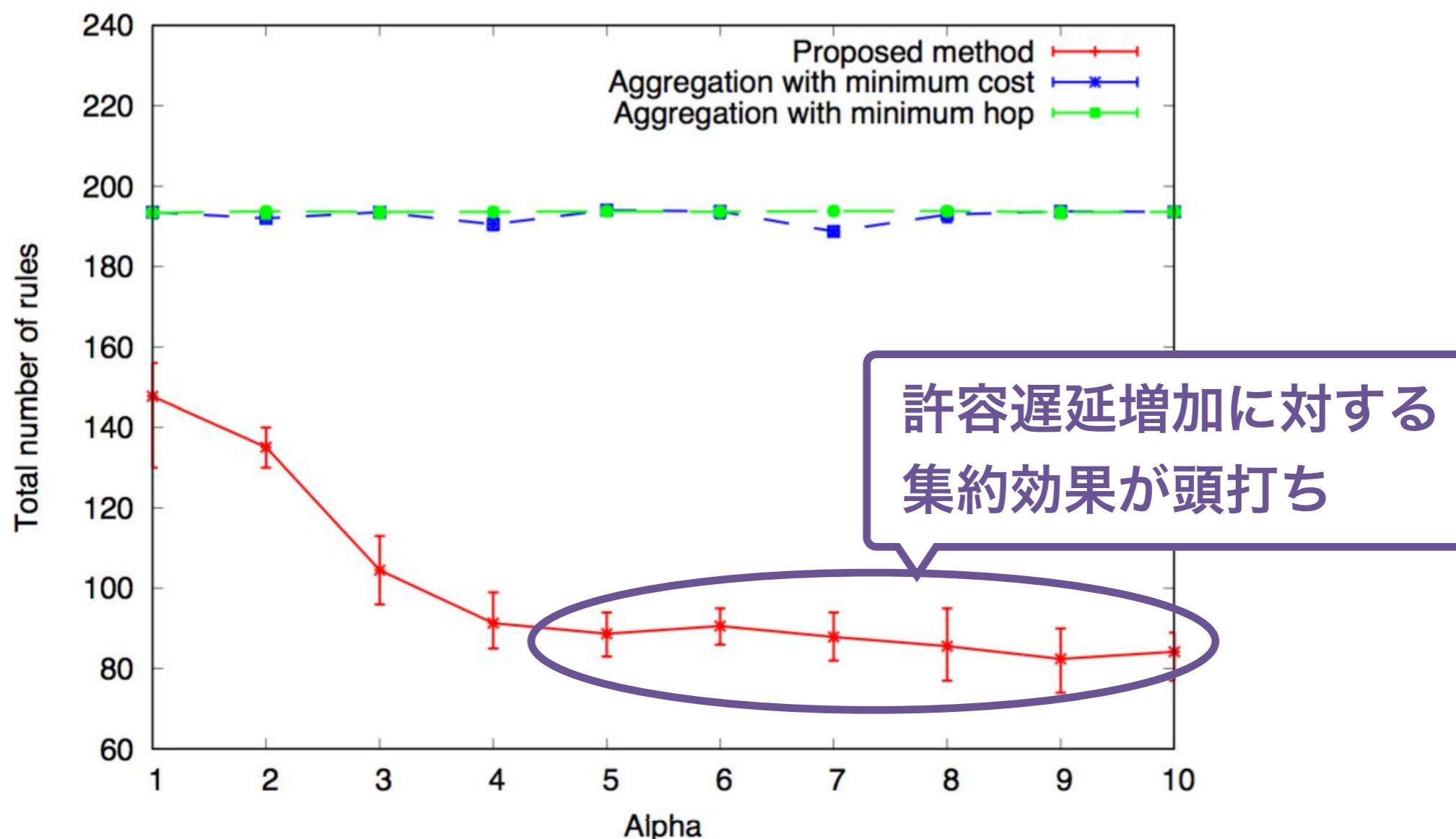
2016/11/25 ICM研究会

“SDNにおけるエンドツーエンドの許容遅延を考慮したフロー集約法”

## ■ 許容遅延の変化に対する集約効果

- $|F| = 1000$  の場合

Topology name	$ V $	$ E $	$\max( F )$
Random-small	50	101	$\mathcal{O}(10^3)$
Random-large	500	7472	$\mathcal{O}(10^5)$
Scalefree-small	50	96	$\mathcal{O}(10^3)$
Scalefree-large	500	995	$\mathcal{O}(10^5)$



図：ERモデル (50ノード) における評価



# 評価 (3)

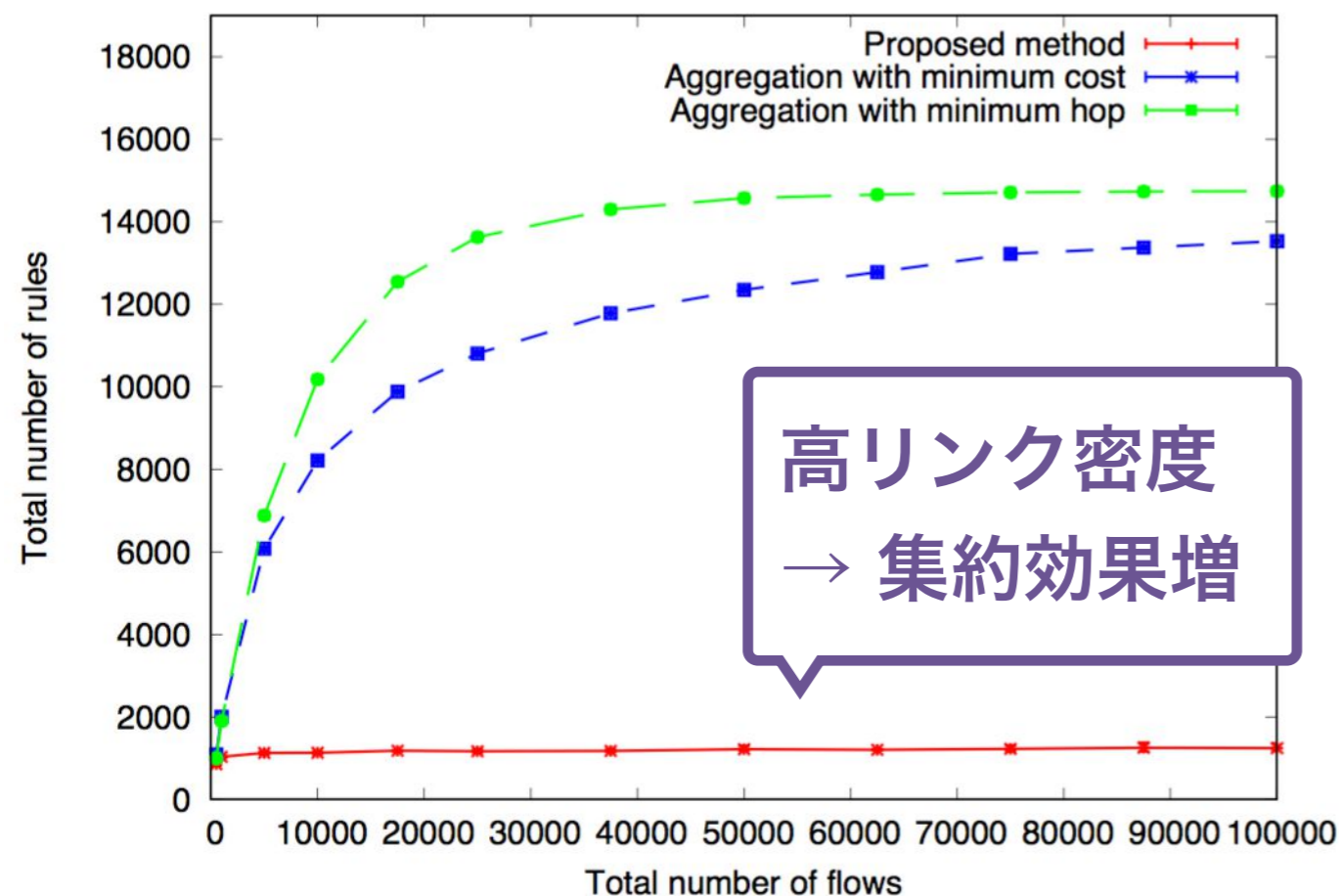
2016/11/25 ICM研究会

“SDNにおけるエンドツーエンドの許容遅延を考慮したフロー集約法”

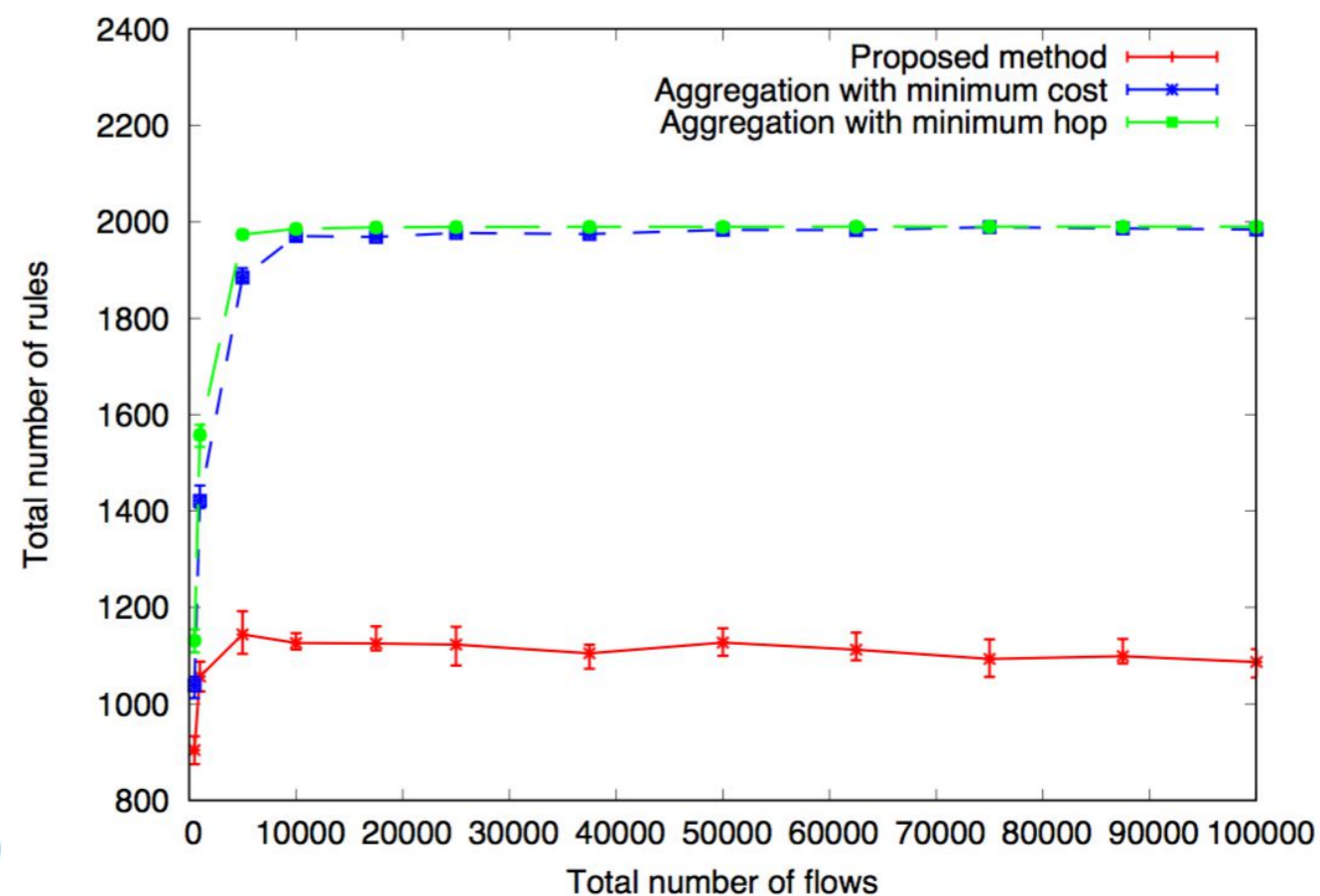
## ■ フロー数の変化に対する集約効果

- $\alpha = 5$  の場合

Topology name	$ V $	$ E $	$\max( F )$
Random-small	50	101	$\mathcal{O}(10^3)$
Random-large	500	7472	$\mathcal{O}(10^5)$
Scalefree-small	50	96	$\mathcal{O}(10^3)$
Scalefree-large	500	995	$\mathcal{O}(10^5)$



図：ERモデル (500ノード) における評価



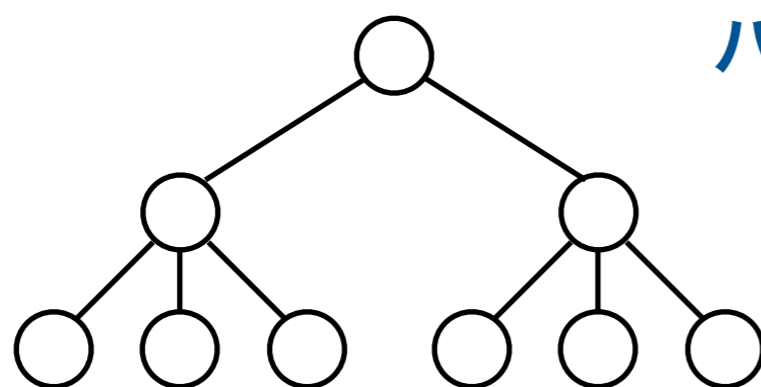
図：BAモデル (500ノード) における評価

## ■ 集約効果の要因

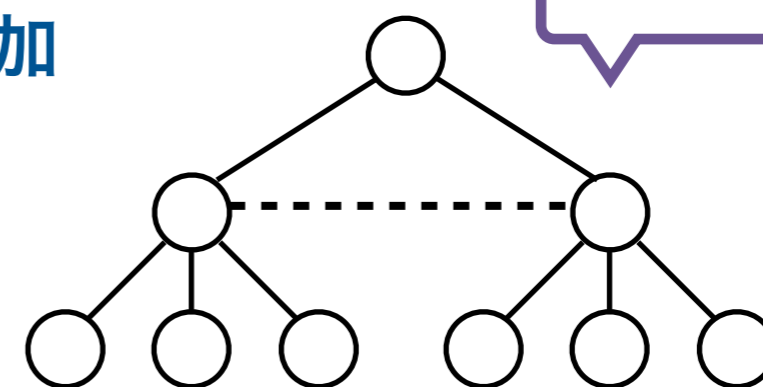
- フローの許容コスト
- 経路の選択肢数

## ■ 苦手なトポロジ

- ツリーモデル
  - 経路が一意に決定



バイパス追加



提案手法の  
集約効果期待



# まとめ

- エンドツーエンドのフローの許容遅延を満足し  
フロー数を最小化する集約法を提案
- 複数トポロジでシミュレーション評価
  - 単純な手法より高い集約効果
  - 経路変更の自由度が影響
- 今後の課題
  - 現実的なモデルへの修正
  - 苦手なトポロジのバイパス追加手法検討